

УДК 543.42:547.022

ХИМИЯ

Н. Н. ВЫШИНСКИЙ, Т. И. ЕРМОЛАЕВА, В. Н. ЛАТЯЕВА,
А. Н. ЛИНЕВА, Н. Е. ЛУХТОН

ИНФРАКРАСНЫЕ КОЛЕБАТЕЛЬНЫЕ СПЕКТРЫ
ЦИКЛОПЕНТАДИЕНИЛАЦИЛАТОВ ТИТАНА И ВАНАДИЯ

(Представлено академиком Г. А. Разуваевым 30 XI 1970)

Исследование взаимодействия органических соединений переходных металлов с перекисями представляет большой интерес. В частности, для циклопентадиенильных соединений установлено несколько направлений таких реакций. Если при действии перекиси бензоила на ферроцен происходит полное разрушение сандвич-структуры и образуется трибензоат железа (¹), то реакции дициклопентадиенилтитана с ацильными перекисями приводят в основном к образованию диацилатов дициклопентадиенилтитана, которые не реагируют с избытком перекиси (²). Взаимодействие дициклопентадиенилванадия с ацильными перекисями происходит сложнее. В зависимости от соотношения исходных реагентов могут образовываться какmono-, так идициклопентадиенильные производные ванадия (^{3, 4}). В результате исследования указанных реакций был выделен ряд новых, не описанных в литературе смешанных циклопентадиенилацилатов титана и ванадия.

Настоящая работа посвящена изучению инфракрасных колебательных спектров следующих соединений: $(C_5H_5)_2Ti(OCOC_6H_5)_2$, $(C_5H_5)_2V(OCOC_6H_5)_2$, $(C_5H_5)_2Ti(OCOC_6H_5)_2$, $(C_5H_5)_2V(OCOC_6H_5)_2$, $(C_5H_5)_2Ti(OCOC_6H_5)_2$, $(C_5H_5)_2V(OCOC_6H_5)_2$, $(C_5H_5)_2Ti(OCOC_6H_5NO_2-n)_2$ и $(C_5H_5)_2V(OCOC_6H_5NO_2-n)_2$. Спектры были получены при помощи спектрометра UR-20 в диапазоне 450—3200 см⁻¹. Исследуемые образцы представляли собой пасту в вазелиновом масле. Волновые числа, соответствующие максимумам наблюдаемых полос поглощения, представлены в табл. 1.

При интерпретации колебательных спектров исследуемых веществ им можно присвоить общую формулу $[(C_5H_5)_mM(OCOR)_n]_k$ и рассматривать пофрагментно. В частности, для бензоатов можно выделить два фрагмента: $(C_5H_5)M$ и $C_6H_5CO_2$. Последний можно представить состоящим из фенильной группы — C_6H_5 , колебательный спектр которой будет весьма характеристичен по числу и положению полос поглощения, и карбоксильной группировкой $C-C\overset{O}{\backslash}O$ (колебания ее должны быть весьма чувствительны к природе связи атома металла с кислородом и кристаллической структуре соединения).

В высокочастотной области (выше 2000 см⁻¹) все соединения должны иметь полосы поглощения малой интенсивности, принадлежащие валентным колебаниям C—H, и сгруппированные в области 3000—3100 см⁻¹, характерной для ароматических систем. Экспериментально доказано обнаружено здесь от одной до трех перекрывающихся полос поглощения. Анализ И-К спектров большого числа монозамещенных бензоата показывает, что для этих соединений характерно наличие двух интенсивных полос поглощения в области 670—770 см⁻¹, двух полос средней интенсивности в области 1000—1100 см⁻¹ и полос переменной интенсивности в области 1500 и 1600 см⁻¹. Перечисленные полосы имеются в спектрах всех исследованных нами бензоатов.

Таблица 1

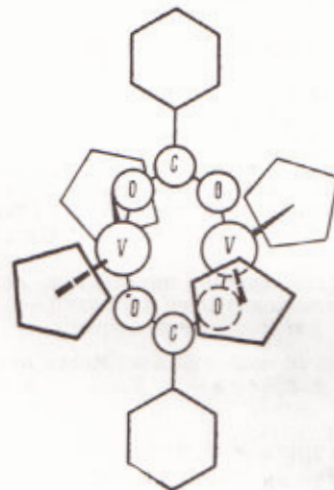
Положение максимумов, см⁻¹, полос поглощения в ИК спектрах

$(C_6H_5)_2Ti\cdot(OOCOC_6H_5)_2$	$(C_6H_5)_2Ti\cdot(OOCOC_6H_5)_2$	$(C_6H_5)_2V\cdot(OOCOC_6H_5)_2$	$(C_6H_5)_2V\cdot(OOCOC_6H_5)_2$	$(C_6H_5)_2V\cdot(OOCOC_6H_5)_2$	$(C_6H_5)_2V\cdot(OOCOC_6H_5)_2$	Отнесение (указанные группы)
610 ср.	—	426 ср.	—	—	505 ср.	—
475 ср.	—	435 ср.	480 ср.	490 ср.	520 ср.	—
570 ср.	—	570 ср.	{ 550 ср. 615 ср.	—	575 ср.	—
605 ср.	605 ср.	590 ср.	{ 615 ср. 655 ср.	610 ср.	590 ср.	—
670 ср.	670 ср.	675 ср.	{ 671 ср. 685 ср.	670 ср.	—	C_6H_5
690 ср.	—	692 ср.	{ 685 ср. 729 ср.	685 ср.	705 ср.	C_6H_5
725 ср.	710 ср.	715 ср.	{ 729 ср. 730 ср. с.	729 ср.	725 ср.	C_6H_5
—	—	—	—	—	{ 730 ср. 735 ср.	—
800 о. с.	800 о. с.	800 ср.	{ 805 ср. 850 ср.	805 о. с.	{ 792 ср. 840 о. с.	—
850 о. с.	870 ср.	870 ср.	{ 850 ср. —	830 ср.	{ 870 ср. 880 ср.	C_6H_5
870 ср.	—	—	—	840 ср.	—	C_6H_5
900 ср.	—	—	—	—	880 ср.	C_6H_5
950 ср.	940 ср.	940 ср.	950 ср.	940 ср.	990 ср.	—
{ 1015 о. ср. 1020 ср.	—	1030 ср.	{ 1029 ср. 1029 ср.	{ 1020 ср. —	{ 1020 ср. (1025) о. ср.	C_6H_5 и C_6
1075 ср.	—	1075 ср.	—	—	{ (1025) о. ср. 1070 ср.	C_6H_5
1130 ср.	1120 ср.	1120 ср.	1180 ср.	—	1080 ср.	—
1145 ср.	—	—	—	—	1110 ср.	—
1160 ср.	1170 ср.	1170 ср.	{ 1170 ср. 1180 ср.	{ 1170 ср. 1180 ср.	{ 1135 ср. 1140 ср.	—
1180 ср.	1180 ср.	1180 ср.	{ 1182 ср. 1295 ср.	{ 1182 ср. 1280 ср.	{ 1145 ср. 1150 ср.	—
1205 о. ср.	1205 о. ср.	1205 о. ср.	{ 1280 о. ср. (1310) о. ср.	{ 1280 о. ср. 1320 ср.	{ 1175 ср. 1185 ср.	—
1220 ср.	—	—	—	—	1160 ср.	—
1340 о. с.	1410 о. с.	1410 о. с.	1420 о. с.	1440 о. с.	1430 о. с.	—
—	—	—	1350 ср.	—	1340 о. с.	—
—	1500 о. ср.	1500 о. ср.	{ 1450 ср. 1450 ср.	—	1500 о. ср.	—
—	—	—	{ 1550 ср. 1550 ср.	—	1525 ср.	—
—	—	—	{ 1550 ср. 1600 ср.	—	—	—
1600 ср.	1570 о. с.	1585 ср.	{ 1600 ср. 1650 ср.	1580 ср.	1605 ср.	C_6H_5
1510 о. с.	1610 о. с.	1635 ср.	{ 1650 ср. 1650 ср.	1630 о. с.	{ 1650 ср. 1670 ср.	O
—	—	—	—	—	{ 1670 ср. 1710 ср.	—
—	1700 ср.	—	—	—	—	—
—	—	—	—	—	—	—
3070 о. ср.	—	3070 о. ср.	3070 о. ср.	—	3050 о. ср.	$(C_6H_5)_2O$
3100 о. ср.	(3100) о. ср.	3100 о. ср.	3100 о. ср.	3100 о. ср.	3100 о. ср.	$(C_6H_5)_2O$

Примечание. Интенсивности полос поглощения обозначены следующим образом: о. с. — очень сильная, с. — сильная, ср. — средняя, сл. — слабая, о. сл. — очень слабая. Фигурной скобкой обозначены перекрывающиеся полосы.

Ввиду того, что циклопентадиенильная группа, π-связанная с атомом металла, обладает осевой симметрией (точечная группа C_{5v}), спектр поглощения соединений, содержащих этот фрагмент, весьма беден. В области 3050 см^{-1} , как указывалось выше, обнаруживаются слабые полосы, принадлежащие валентным колебаниям C—H класса A_1 и E_1 , если исходить из собственной симметрии рассматриваемого фрагмента. Проведенный нами расчет частот колебаний модели $(C_5H_5)Ti$ в группе C_{5v} показал, что валентные и деформационные колебания циклопентадиенильного кольца класса E_1 и деформационные колебания Ti—C—H той же симметрии имеют практически совпадающие частоты в области 1420 см^{-1} . Из других колебаний этого фрагмента только два имеют частоты в области 500 — 2000 см^{-1} . Это симметричные деформационные колебания Ti—C—H класса A_1 с частотой 800 см^{-1} и пульсационные колебания циклопентадиенильного кольца с частотой $\sim 1000 \text{ см}^{-1}$. И.к. полосы поглощения, принадлежащие карбоксильной группе, расположены в области 1420 — 1450 и 1550 — 1600 см^{-1} ^(5, 6). Первая из них относится к симметричному колебанию связей C—O, вторая — к антисимметричному.

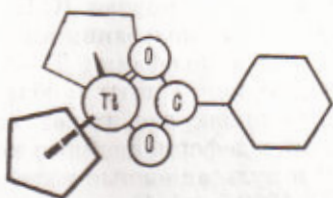
Изложенное позволяет сделать однозначное отнесение большинства наблюдавшихся нами экспериментально полос поглощения (см. табл. 1). По своей спектральной характеристике $(C_5H_5)V(OCOCH_3)_2$ чрезвычайно сходен с кристаллогидратами диацетатов хрома и меди⁽⁶⁾, имеющими димерную структуру. Это позволяет предполагать, что $(C_5H_5)V(OCOCH_3)_2$ является димерным соединением, аналогично $[(C_5H_5)V(OCOCF_3)_2]_2$ ⁽⁷⁾. Такую же структуру можно приписать на основании положения полос поглощения карбоксильной группы и всем остальным производным ванадия за исключением $(C_5H_5)_2V(OCOC_6H_4NO_2)_2$, а также $(C_5H_5)Ti(OCOC_6H_5)_2$. В частности, пространственную конфигурацию $(C_5H_5)_2V(OCOC_6H_5)$ можно представить следующим образом



Такой вывод подтверждается результатами криоскопии и данными по диэлектрическим и магнитным измерениям.

В отличие от рассмотренных выше соединений, спектр $(C_5H_5)_2Ti(OCOC_6H_5)$ характеризуется низким значением частоты антисимметричного валентного колебания $\nu_{as}(C—O)$ карбоксильной группы — 1510 см^{-1} . Криоскопические и магнитные⁽⁹⁾ измерения показывают, что молекулы этого соединения мономерны. Выполненный нами расчет чувствительности частот модели $\begin{array}{c} O \\ | \\ C—C \\ | \\ O \end{array}$ (точечная группа симметрии C_{2v}) к измене-

нию параметров, характеризующих ее геометрическую конфигурацию и силовое поле, показывает, что наблюдаемое смещение рассматриваемой полосы поглощения может быть объяснено уменьшением величины угла O—C—O. Изменение геометрической конфигурации карбоксильной группы в этом случае, по-видимому, связано с образованием крепкообъединенной хелатной структуры



Спектры $(C_5H_5)_2Ti(OCOC_6H_5)_2$ и $(C_5H_5)_2Ti(OCOC_6H_4NO_2-n)_2$, напротив, характеризуются увеличением разности частот симметричного и антисимметричного валентных колебаний связей C—O. Низкочастотная полоса в случае $(C_5H_5)_2Ti(OCOC_6H_5)_2$ состоит из трех перекрывающихся компонент с частотами 1300, 1320 и 1350 cm^{-1} . Сложная структура высокочастотной полосы выражена не столь явно. Ее максимум расположен в области 1630 cm^{-1} . Проведенный нами анализ показал, что наблюдаемое в этих случаях изменение спектров не может быть объяснено изменением геометрической конфигурации и силового поля модели с эквивалентными атомами кислорода. Следовательно, можно допустить, что в молекулах $(C_5H_5)_2Ti(OCOC_6H_5)_2$ и $(C_5H_5)_2Ti(OCOC_6H_4NO_2-n)_2$ атомы кислорода карбоксильной группы неэквивалентны.

Научно-исследовательский институт химии
при Горьковском государственном университете
им. Н. И. Лобачевского

Поступило
17 XI 1970

ЦИТИРОВАННАЯ ЛИТЕРАТУРА

- ¹ Pousaker, Austral. J. Chem., 11, 509 (1958). ² Г. А. Разуваев, В. Н. Латяева, Л. И. Вышинская, ДАН, 138, 1126 (1961). ³ В. Н. Латяева, А. Н. Линева, Г. А. Разуваев, ЖХХ, 39, 408 (1969). ⁴ R. B. King, J. Inorg. Chem., 5, 2231 (1966). ⁵ К. Наканиси, Инфракрасные спектры и строение органических соединений, М., 1965. ⁶ К. Накамото, Инфракрасные спектры неорганических и координационных соединений, М., 1966. ⁷ Г. Г. Александров, Ю. Т. Стручков, ЖСХ, 11, 479 (1970). ⁸ R. S. P. Coutts, P. C. Wailes, Austral. J. Chem., 20, 1579 (1967).